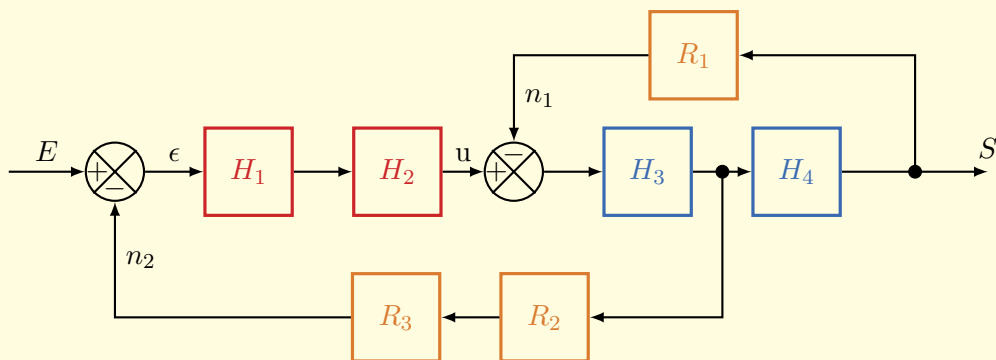


Systèmes mécaniques et automatiques

Notes de cours IngéSpé

Automatique Linéaire



ANNÉE 2019–2020

Systèmes mécaniques et automatiques

Notes de cours IngéSpé

Automatique Linéaire

Filipe Manuel Vasconcelos

écrit sous L^AT_EX, TikZ
version de janvier 2020.

Ce document est mis à disposition selon les termes de la licence
Creative Commons “Attribution - Partage dans les mêmes conditions 4.0 International”.



Ce document est destiné aux étudiants du cycle prépa de l'ESME SUDRIA. En constante évolution, il ne pourra que s'améliorer avec votre concours. N'hésitez pas à me communiquer vos remarques et/ou corrections par mail : filipe.vasconcelos@esme.fr

Table des matières

Table des matières	5
Avant-propos	11
Chapitre 1 Systèmes linéaires, continus...	13
1. Introduction	14
2. Définition SLCI	15
2.1. Système	15
2.2. Système à temps continu	16
2.3. Système linéaire	16
2.4. Système causal	16
2.5. Système invariant	17
2.6. Système stable	17
2.7. Modélisation d'un système linéaire continu et invariant	17
3. Modélisation d'un signal	19
3.1. Propriétés générales des signaux continus (analogiques)	20
3.2. Signaux usuels rencontrés...	22
4. La transformée de Laplace	28
4.1. Définition	28
4.2. Propriétés	28
4.3. Transformées des signaux usuels	32
4.4. Application de la transformée de Laplace	34
5. Fonction de Transfert	39
5.1. Définition	39
5.2. Fonction de transfert et réponse impulsionnelle	39
5.3. Représentation de la fonction de transfert	39
Chapitre 2 Schéma fonctionnels	45
1. Introduction	46
2. Éléments de base des schémas fonctionnels	46
3. Transformation des schémas fonctionnels	48
3.1. Réduction de schéma-bloc	48
3.2. Manipulation de schéma-bloc	51
4. Cas d'entrées multiples	52
5. Réduction de schéma-bloc de grande taille	53
5.1. Exemple à entrée simple	54
5.2. Exemple à entrées multiples	56
6. Graphe de fluence	58
6.1. Définitions	58

6.2.	Algèbre des graphes de fluences	59
6.3.	Règle de Mason	62
Chapitre 3	Modélisation des SLCI	65
1.	Introduction	66
2.	Système du premier ordre	67
2.1.	Définition d'un système du premier ordre	67
2.2.	Fonction de transfert d'un système du premier ordre	67
2.3.	Pôle de la fonction de transfert du premier ordre	67
2.4.	Réponses temporelles d'un système du premier ordre	67
3.	Système du second ordre	72
3.1.	Définition d'un système du second ordre	72
3.2.	Fonction de transfert d'un système du second ordre	72
3.3.	Pôles de la fonction de transfert du second ordre	72
3.4.	Réponses temporelles d'un système du second ordre	74
3.5.	Cas particulier de l'oscillateur harmonique	88
4.	Autres modèles particuliers	90
4.1.	Gain pur	90
4.2.	Intégrateur pur	90
4.3.	Dérivateur pur	91
4.4.	Retard pur	91
5.	Généralisation des modèles de SLCI	92
5.1.	Systèmes d'ordre supérieur à 2	92
5.2.	Exemple d'une fonction de transfert d'ordre 3	93
6.	Identification d'un modèle de comportement	94
6.1.	Formule de Bureau	94
6.2.	Modèle de Strejc	94
Chapitre 4	Analyse fréquentielle	95
1.	Réponse harmonique	96
1.1.	Exemple de réponse harmonique dans le domaine temporel	98
2.	Représentation graphique de la réponse harmonique	99
2.1.	Diagramme de Bode	100
2.2.	Diagramme de Nyquist	101
2.3.	Diagramme de Black-Nichols	101
3.	Analyse fréquentielle des modèles usuels	102
3.1.	Diagrammes de Bode : méthodologie générale	102
3.2.	Diagrammes de Nyquist : méthodologie générale	120
3.3.	Diagrammes de Black : méthodologie générale	129
4.	Etude du transitoire de la réponse harmonique	129
4.1.	Exemple d'un système du premier ordre	129
4.2.	Exemple d'un système du second ordre	130
Chapitre 5	Asservissements des systèmes linéaires	131
1.	Introduction	132

2.	Organisation d'un asservissement	134
2.1.	Schémas fonctionnels associés aux systèmes asservis	134
2.2.	Présence d'une perturbation : la régulation	135
2.3.	Schéma fonctionnel complet	135
2.4.	Fonctions de transferts associées à un système asservi	138
3.	Asservissement des SLCI modèles	139
3.1.	Asservissement d'un intégrateur	139
3.2.	Asservissement d'un système du premier ordre	140
3.3.	Asservissement d'un système du second ordre	140
Chapitre 6	Performances des systèmes asservis	143
1.	Introduction	144
2.	Précision	144
2.1.	Précision en boucle ouverte	144
2.2.	Précision en boucle fermée	145
2.3.	Effet d'une perturbation	148
3.	Rapidité	152
3.1.	Réponse temporelle	152
3.2.	Réponse harmonique	158
3.3.	Influence des pôles dominants	158
Chapitre 7	Stabilité des systèmes asservis	161
1.	Contexte et critère de stabilité fondamentale	162
2.	Critère algébrique de Routh	164
2.1.	Tableau de Routh	165
2.2.	Exemple d'application du critère de Routh-Hurwitz	167
3.	Critère graphique du revers	169
3.1.	Critère du revers dans le plan de Nyquist	172
3.2.	Critère du revers dans le plan de Black	173
3.3.	Critère du revers dans le plan de Bode	174
4.	Marge de stabilité	175
4.1.	Marge de gain	175
4.2.	Marge de phase	175
5.	Critère de Nyquist	175
Chapitre 8	Correction des systèmes asservis	181
1.	Nécessité de la correction	182
2.	Correcteur P, I et D	182
3.	Correcteur PI et PD	182
4.	Correcteur PID	182
Chapitre 9	Initiation à la représentation d'état	183
Annexes		187
Annexe A	Alphabet Grec	187
Annexe B	Unités du Système International	189
Annexe C	Pierre-Simon de Laplace	191

Annexe D	Transformation de Laplace	193
1.	Définitions	193
2.	Propriétés	193
3.	Table des transformées de Laplace	195
Annexe E	Rappel sur les nombres complexes	197
Annexe F	Équations différentielles à coefficients constants	203
1.	Résolution équation différentielle du premier ordre	203
1.1.	Sans second membre	203
Annexe G	Décomposition en éléments simples	207
1.	Contexte	207
2.	Fractions rationnelles rencontrées en automatique	207
3.	Décomposition en éléments simples	208
4.	Détermination des coefficients de la DES	209
4.1.	Par identification	209
Annexe H	Systèmes du second ordre	211
1.	Abaques de la réponse temporelle	212
2.	Analyse fréquentielle	214
Annexe I	Initiation à Scilab	217
1.	Présentation générale	217
2.	Syntaxe : console	218
3.	Polynômes et fractions rationnelles	219
4.	Vecteurs et matrices	221
5.	Tracer de figures	225
6.	Programmation	226
7.	SLCI avec Scilab	228
7.1.	Définition d'un système linéaire	228
7.2.	Simulation temporelle d'un système linéaire	229
7.3.	Système du premier ordre	230
7.4.	Carte des pôles et zéros	233
7.5.	Asservissement	233
8.	Scilab-Xcos	234
8.1.	Lancer Xcos	234
8.2.	Diagramme simple	234
8.3.	Simulation	235
8.4.	Blocs « To Workspace » ou « From Workspace »	235
Annexe J	Échelle logarithmique et le décibel	237
1.	Rappel sur le logarithme décimal	237
2.	Échelle logarithmique décimale	237
3.	Le décibel	239
4.	Diagramme de Bode	239
5.	Tracé d'un diagramme de Bode avec Scilab	242

Annexe K	Transformée de Laplace inverse	243
1.	Contexte	243
2.	Méthode de Gaver-Stehfest	243
3.	Méthode de Talbot fixe	243
Annexe L	TODO	245
Références		249
Acronymes		253
Glossaire		255
Liste des Symboles		257

Avant-propos

Programme

Ce cours est une introduction à l'**automatique** pour des étudiants de deuxième année de classe préparatoire scientifique.

L'objectif principal de l'automatique est de permettre le contrôle des **systèmes dynamiques** de toutes natures que ce soient : mécanique, chimique, électronique, optique, thermique, acoustique. . . . Tout en respectant certaines contraintes de performances (rapidité, précision, stabilité. . .).

Nous limiterons notre étude aux **systèmes linéaires continus et invariants**. La **modélisation** de ces systèmes passe par la mise en équation du comportement physique des systèmes sous forme d'équations différentielles. Cette étape ne fait pas à proprement parler partie d'un cours d'automatique, en effet chacune des disciplines construisent cette modélisation en se basant sur les principes et les hypothèses les plus adaptés à un problème donné. La modélisation permet une étude systématique des équations différentielles en proposant des modèles généraux et ce quelque soit la nature du procédé.

L'**analyse** nous permettra de caractériser et d'identifier ces modèles à partir des réponses aux sollicitations et de leurs performances.

Le **contrôle** est un concept très générale permettant de regrouper toutes les méthodes et techniques permettant de commander un système dynamique. Dans ce cours nous présenterons que les principes d'asservissement et de régulation. Nous verrons comment il est possible d'élaborer une commande adaptée (corrigée) pour un procédé quelconque, notamment lorsque ceux-ci présenteront des défauts de performance.

Organisation du document

Les chapitres suivent un découpage classique autour des trois piliers discutés précédemment que sont la **modélisation**, l'**analyse** et le **contrôle**. (c.f **Figure A**).

Le lecteur pourra s'appuyer sur un grand nombre d'annexes qui ont pour objectifs de rappeler et de détailler des notions prérequis ou encore approfondir quelques aspects hors programme pour une deuxième lecture.

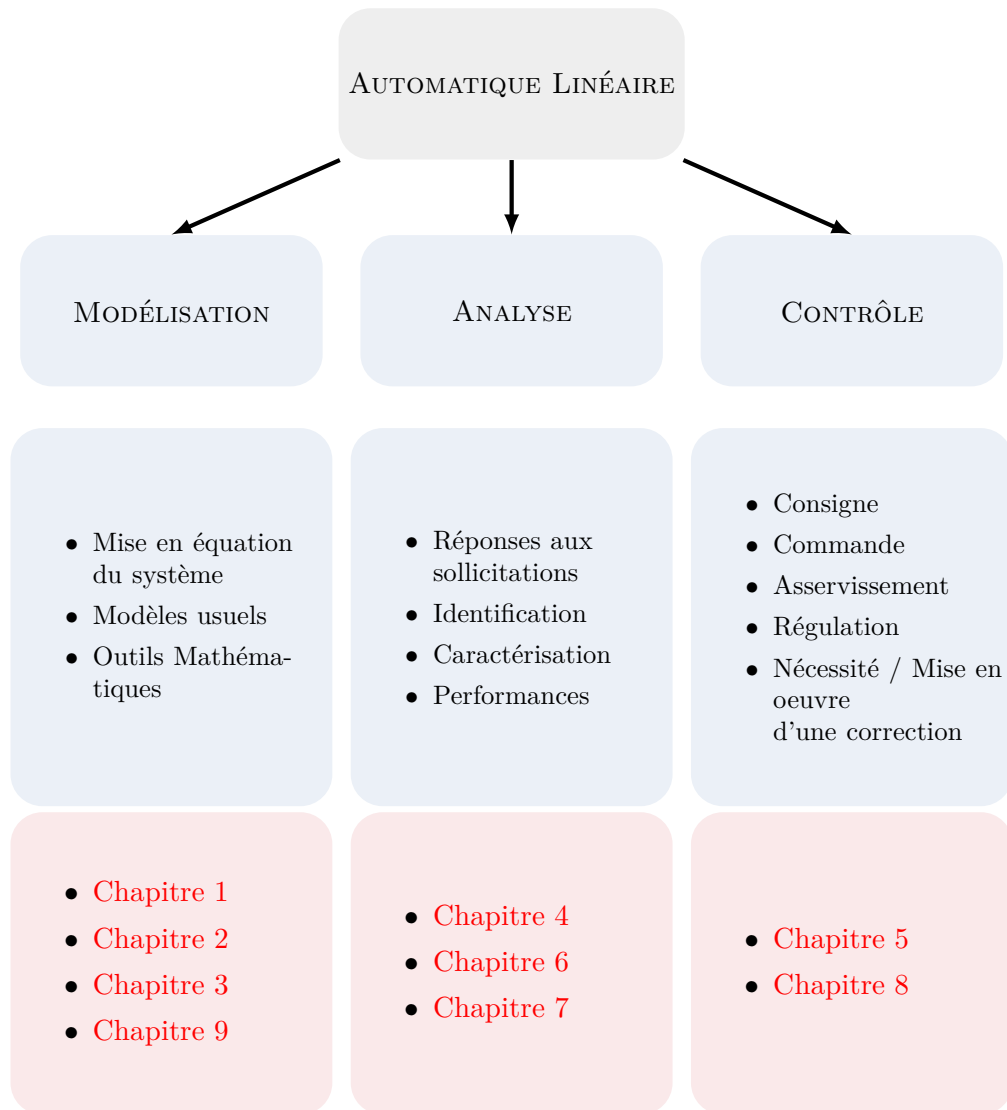


Figure A. – Organisation du document.

6. Performances des systèmes asservis

Sommaire

1.	Introduction	144
2.	Précision	144
2.1.	Précision en boucle ouverte	144
2.2.	Précision en boucle fermée	145
2.3.	Effet d'une perturbation	148
3.	Rapidité	152
3.1.	Réponse temporelle	152
3.2.	Réponse harmonique	158
3.3.	Influence des pôles dominants	158

1. Introduction

Les performances qui vont nous intéresser dans ce chapitre sont la **précision** et la **rapidité**. Dans les deux cas, nous allons observer que les performances en boucle fermée dépendent du système en boucle ouverte.

2. Précision

Un système est précis si l'écart que l'on note $\epsilon(t)$ entre l'entrée $e(t)$ et la sortie $s(t)$ est nul. Dans le domaine de Laplace, cet écart devient :

$$\epsilon(p) = E(p) - S(p)$$

On distingue deux cas :

- En régime permanent, cet écart ϵ_s est nommée **erreur statique**.
- En régime transitoire, cet écart $\epsilon(t) = e(t) - s(t)$ est nommée **erreur dynamique**.

L'erreur dynamique consiste à suivre l'écart défini précédemment durant le transitoire. Pour étudier l'erreur statique, on sollicite le système à différents types de signaux pour obtenir dans les différents cas :

- l'**erreur indicielle** ou l'erreur de position qui est l'erreur statique de la réponse indicielle.
- l'**erreur de poursuite** ou erreur de vitesse qui est l'erreur statique de la réponse à une rampe.
- l'**erreur en accélération** qui est l'erreur statique de la réponse à une parabole.

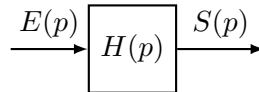
Concrètement pour étudier l'erreur statique on cherche la limite à l'infini de $\epsilon(t)$ ou encore en appliquant le théorème de la valeur finale :

$$\epsilon(\infty) = \lim_{t \rightarrow \infty} e(t) - s(t) = \lim_{p \rightarrow 0} p(E(p) - S(p)) \quad (6.1)$$

Rappelons que pour pouvoir appliquer ce théorème la valeur finale doit être finie ou en d'autre mot le système doit être stable.

2.1. Précision en boucle ouverte

Soit un système caractérisé par la fonction de transfert $H(p)$ est sollicité par l'entrée $E(p)$. La sortie $S(p)$ est alors donnée par :



L'erreur statique est alors donnée par :

$$\epsilon(\infty) = \lim_{p \rightarrow 0} p(E(p) - H(p)E(p)) = \lim_{p \rightarrow 0} p(1 - H(p))E(p)$$

2.1.1. Exemple d'un premier ordre

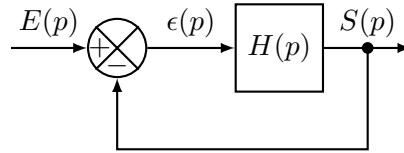
Prenons l'exemple d'un système du 1er ordre de fonction de transfert canonique $H(p) = \frac{K}{1 + \tau p}$ que l'on sollicite avec un échelon d'amplitude (consigne) E_0 . L'erreur statique est alors donnée par :

$$\epsilon(\infty) = \lim_{p \rightarrow 0} \left(1 - \frac{K}{1 + \tau p} \right) E_0 = (1 - K)E_0$$

Le système est précis (c.a.d $\epsilon(\infty) = 0$) si $K = 1$.

2.2. Précision en boucle fermée

Considérons le cas d'un système asservi de fonction de transfert $H(p)$ par une boucle de contre-réaction à retour unitaire.



La **fonction de transfert en boucle ouverte (FTBO)** est simplement donnée par $H(p)$. Dans le cas le plus générale, il est toujours possible d'écrire une fonction de transfert sous la forme canonique (**Chapitre 1**) :

$$H_{BO}(p) = \frac{K}{p^\alpha} \cdot \frac{N(p)}{D(p)}$$

avec α la classe du système en boucle ouverte, K le gain statique et $N(p)$ et $D(p)$ deux polynômes tels que $N(0) = D(0) = 1$.

Dans le domaine de Laplace l'écart $\epsilon(p)$ s'écrit :

$$\epsilon(p) = E(p) - S(p) = \left(1 - \frac{H_{BO}(p)}{1 + H_{BO}(p)} \right) E(p)$$

en remplaçant $H_{BO}(p)$ par sa représentation générale :

$$\epsilon(p) = \frac{p^\alpha D(p)}{p^\alpha D(p) + KN(p)} E(p) \quad (6.2)$$

L'erreur statique ϵ_s est alors donnée par la limite (Théorème de la valeur finale) :

$$\epsilon_s = \lim_{p \rightarrow 0} p\epsilon(p) = \lim_{p \rightarrow 0} \frac{p^\alpha D(p)}{p^\alpha D(p) + KN(p)} pE(p)$$

ou encore en utilisant les valeurs des polynômes en 0 :

$$\epsilon_s = \lim_{p \rightarrow 0} \frac{p^\alpha}{p^\alpha + K} p E(p) \quad (6.3)$$

Cette erreur dépend donc de la nature de la sollicitation (c.a.d $E(p)$) et de la classe α de la fonction de transfert en boucle ouverte.

Nous allons maintenant considérer différents types de sollicitations pour différentes classes de système en boucle ouverte.

2.2.1. Erreur statique indicielle

L'erreur indicielle est l'erreur entre la sortie d'un système et une sollicitation en échelon $e(t) = E_0 u(t)$ de transformée de Laplace $E(p) = \frac{E_0}{p}$. Pour une telle entrée, l'erreur statique (c.f [équation \(6.3\)](#)) devient :

$$\epsilon_s = \lim_{p \rightarrow 0} \frac{p^\alpha}{p^\alpha + K} E_0$$

Dans le cas d'un système de classe $\alpha = 0$ en boucle ouverte :

$$\epsilon_s = \lim_{p \rightarrow 0} \frac{p^0}{p^0 + K} E_0 = \frac{E_0}{1 + K}.$$

L'erreur est finie mais les réponses indicielles des systèmes de classe $\alpha = 0$ en boucle ouverte ne sont pas précis.

Dans les autres cas $\alpha > 0$, l'erreur statique s'annule :

$$\epsilon_s = \lim_{p \rightarrow 0} \frac{p^\alpha}{p^\alpha + K} E_0 = 0$$

Les réponses indicielle des systèmes de classe $\alpha > 0$ sont donc précis.

2.2.2. Erreur statique de poursuite

L'erreur de poursuite est l'erreur statique d'un système soumis à une rampe du type $e(t) = r(t) = E_0 t u(t)$ de transformée de Laplace $E(p) = \frac{E_0}{p^2}$

Pour une telle entrée, l'erreur statique devient :

$$\epsilon_s = \lim_{p \rightarrow 0} \frac{p^\alpha}{p^\alpha + K} \frac{E_0}{p} = \frac{p^{\alpha-1}}{p^\alpha + K} E_0$$

Dans le cas d'un système de classe $\alpha = 0$ en boucle ouverte, l'erreur devient :

$$\epsilon_s = \lim_{p \rightarrow 0} \frac{p^{-1}}{p^0 + K} E_0 = +\infty$$

Entrée	$\alpha = 0$	$\alpha = 1$	$\alpha = 2$	$\alpha > 2$
$\frac{E_0}{p}$	$\frac{E_0}{1+K}$	0	0	0
$\frac{E_0}{p^2}$	$+\infty$	$\frac{E_0}{K}$	0	0
$\frac{2E_0}{p^3}$	$+\infty$	$+\infty$	$\frac{2E_0}{K}$	0

Tableau 6.1. – Résumé des erreurs statiques pour différentes sollicitations et classe de système en boucle ouverte

Le système est incapable de suivre l'entrée souhaitée.

Dans le cas d'un système de classe $\alpha = 1$ en boucle ouverte, l'erreur devient :

$$\epsilon_s = \lim_{p \rightarrow 0} \frac{p^0}{p+K} E_0 = \frac{E_0}{K}$$

Dans le cas d'un système de classe $\alpha > 1$ en boucle ouverte, l'erreur devient :

$$\epsilon_s = \lim_{p \rightarrow 0} \frac{p^{\alpha-1}}{p^\alpha + K} E_0 = 0$$

Le système est donc précis.

2.2.3. Erreur statique d'accélération

L'erreur d'accélération est l'erreur statique d'un système soumis à un signal parabolique

$$e(t) = E_0 t^2 u(t) \text{ de transformée de Laplace } E(p) = \frac{2E_0}{p^3}$$

Pour une telle entrée, l'erreur statique devient :

$$\epsilon_s = \lim_{p \rightarrow 0} \frac{p^\alpha}{p^\alpha + K} \frac{2E_0}{p^2} = \frac{p^{\alpha-2}}{p^\alpha + K} 2E_0$$

Dans le cas d'un système de classe $\alpha < 2$ en boucle ouverte, l'erreur devient :

$$\epsilon_s = +\infty$$

Pour un système de classe $\alpha = 2$ en boucle ouverte, l'erreur est finie :

$$\epsilon_s = \frac{2E_0}{K}$$

et s'annule pour $\alpha > 2$

2.3. Effet d'une perturbation

2.3.1. Cas générale

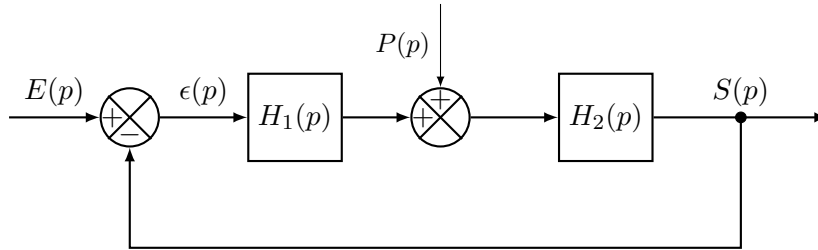
On considère maintenant l'effet d'une perturbation sur la précision d'un système asservis. Sans perte de généralité, on ne considèrera que le cas d'une perturbation en entrée (c'est à dire en amont d'un système linéaire défini par une fonction de transfert $H_2(p)$), la présence d'un correcteur $H_1(p)$ n'est pas obligatoire mais facilite l'interprétation des résultats.

Considérons le schéma bloc suivant avec les fonctions de transfert $H_1(p)$ et $H_2(p)$ de forme canonique :

$$H_1(p) = \frac{K_1}{p^{\alpha_1}} \frac{N_1(p)}{D_1(p)}$$

$$H_2(p) = \frac{K_2}{p^{\alpha_2}} \frac{N_2(p)}{D_2(p)}$$

de les gains statiques K_i , de classe α_i , de polynômes $N_i(p)$ et $D_i(p)$ tels que $N_i(0) =$ et $D_i(0) = 0$.



Pour déterminer l'écart à la consigne d'un tel système, il faut déterminer la sortie globale du système asservi à deux entrées (c.f ?? [section 4](#)).

On se donne les formes canoniques suivantes pour les deux fonctions de transferts $H_1(p)$ et $H_2(p)$ tels que :

$$H_1(p) = \frac{K_1}{p^{\alpha_1}} \frac{N_1(p)}{D_1(p)}$$

$$H_2(p) = \frac{K_2}{p^{\alpha_2}} \frac{N_2(p)}{D_2(p)}$$

avec K_i , α_i , $N_i(p)$ et $D_i(p)$ respectivement les gains statiques, la classe et les polynômes en p tels que $N_i(0) = 1$ et $D_i(0) = 1$.

Pour déterminer l'écart, il nous faut déterminer la sortie globale $S(p)$ pour des entrées multiples (c.f [Chapitre 2-??](#)). Cette sortie est sous la forme :

$$S(p) = H_{P=0}E(p) + H_{E=0}P(p)$$

c'est à dire que c'est la somme des contributions des deux entrées prises séparément.

L'écart est alors donné par

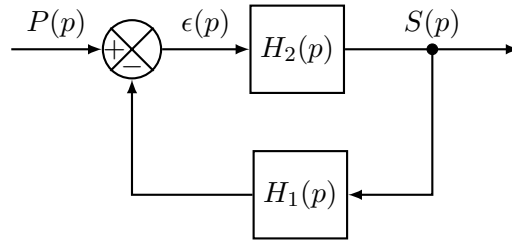
$$\epsilon(p) = E(p) - S(p) = (1 - H_{P=0}) E(p) - H_{E=0} P(p)$$

Le premier terme correspond à l'écart de l'asservissement que nous avons déjà étudié précédemment, le second terme, que l'on note $\epsilon_P(p)$, est la contribution à l'écart dû à la perturbation. La fonction de transfert de l'asservissement est donnée par :

$$H_{P=0} = \frac{H_1 H_2(p)}{1 + H_1(p) H_2(p)}$$

Dans le cas de la régulation d'un système asservis, il est nécessaire de rejeter cette contribution.

La fonction de transfert $H_{E=0}$, de la régulation, correspondant à une consigne nulle, s'obtient en considérant le schéma-bloc suivant :



en boucle fermée, on a alors :

$$H_{E=0}(p) = \frac{H_2(p)}{1 + H_1(p) H_2(p)}$$

en remplaçant par leurs formes canoniques générales :

$$H_{E=0}(p) = \frac{p^{\alpha_1} K_2 N_2(p) D_1(p)}{p^{\alpha_1} p^{\alpha_2} D_1(p) D_2(p) + K_1 K_2 N_1(p) N_2(p)}$$

Examinons l'erreur en régime permanent pour une perturbation constante. C'est à dire pour perturbation $P(p)$ en échelon telle que $P(p) = \frac{P_0}{p}$. L'erreur dû à la perturbation en régime permanent est alors :

$$\begin{aligned} \epsilon_P &= \lim_{p \rightarrow 0} p \epsilon_P \\ \epsilon_P &= \lim_{p \rightarrow 0} -H_{E=0} P_0 \\ \epsilon_P &= \lim_{p \rightarrow 0} \frac{p^{\alpha_1} K_2}{p^{\alpha_1} p^{\alpha_2} + K_1 K_2} P_0 \end{aligned}$$

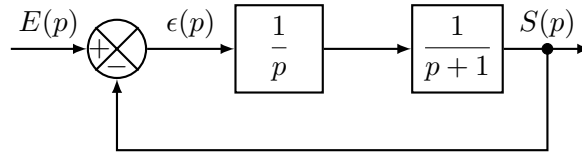
La perturbation est rejetée si $\alpha_1 > 0$, c'est à dire s'il existe au moins un intégrateur en amont de la perturbation. En effet si $\alpha_1 = 0$, l'erreur dû à la

perturbation est finie et donnée par :

$$\epsilon_P = \lim_{p \rightarrow 0} \frac{K_2}{p^{\alpha_1} p^{\alpha_2} + K_1 K_2} P_0$$

2.3.2. Exemple de rejet de perturbation

Nous allons voir ici le rejet d'une perturbation d'un système du premier ordre. On considère le système du premier ordre, en boucle ouverte, placé dans une boucle de contre réaction unitaire avec un intégrateur comme ci-dessous :



On souhaite réguler ce système pour une consigne en échelon. D'après les résultats précédents, l'erreur statique de position est nulle en asservissement puisque le système présente au moins un intégrateur. Pour observer le rejet de la perturbation, nous allons considérer deux positions possibles pour la perturbation (avant et après l'intégrateur).

On considère une perturbation constante telle que $P(p) = e^{-\tau p} \frac{P_0}{p}$ retardée d'un temps $\tau > 0$.

Si l'intégrateur est en aval de la perturbation

Dans un tel cas l'erreur dû à la perturbation est donnée par :

$$\epsilon_P = \lim_{p \rightarrow 0} p \epsilon_P(p) = \lim_{p \rightarrow 0} \frac{e^{-\tau p}}{p(p+1) + 1} P_0 = P_0$$

L'erreur statique de position totale est donc non nulle. La perturbation n'est pas rejetée comme on peut le voir sur la simulation de la réponse temporelle globale de ce système (c.f [figure 6.1](#)).

Si l'intégrateur est en amont de la perturbation

Dans un tel cas l'erreur dû à la perturbation est donnée par :

$$\epsilon_P = \lim_{p \rightarrow 0} \frac{p e^{-\tau p}}{p(p+1) + 1} P_0 = 0$$

L'erreur statique de position totale est donc nulle. La perturbation est rejetée, comme on peut le voir sur la simulation de la réponse temporelle globale de ce système (c.f [figure 6.2](#)).

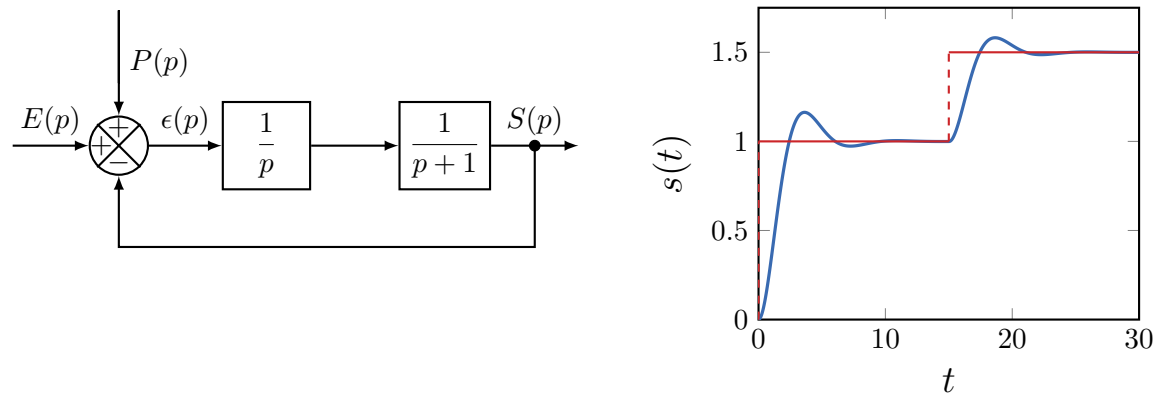


Figure 6.1. – Effet de la perturbation sur la réponse temporelle dans le cas où l'intégrateur est en aval de la perturbation. La simulation de la réponse temporelle est obtenue pour les paramètres suivants : $E_0 = 1$, $\tau = 15$

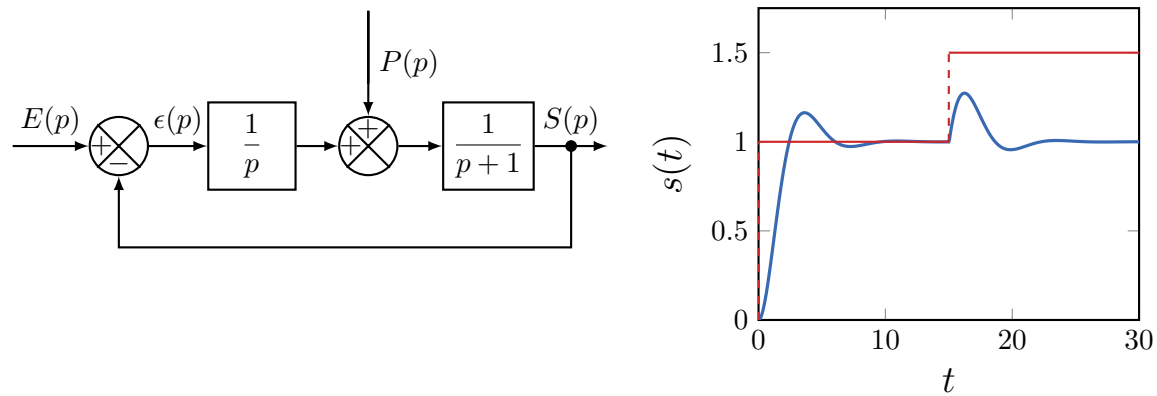


Figure 6.2. – Effet de la perturbation sur la réponse temporelle dans le cas où l'intégrateur est en amont de la perturbation. La simulation de la réponse temporelle est obtenue pour les paramètres suivants : $E_0 = 1$, $\tau = 15$

3. Rapidité

La rapidité est un critère important dans le contexte du contrôle des systèmes dynamiques. Cette rapidité correspond à la durée que met un système pour atteindre le régime permanent. Ce critère de performance dépend donc directement du transitoire de la réponse temporelle. En générale, la valeur finale de la réponse d'un système est atteinte de façon asymptotique. C'est pourquoi, ce critère est généralement évalué relativement à la valeur finale de la réponse indicielle. Dans le cas des systèmes en boucle ouverte, nous ne rappellerons que les résultats obtenues dans les chapitres précédents. L'objectif principale est ici d'évaluer l'effet du bouclage sur ce critère de performance.

3.1. Réponse temporelle

Dans la pratique, on caractérise la rapidité d'une réponse temporelle par l'intermédiaire de deux valeurs : $t_{5\%}$ le **temps de réponse à 5%** et t_m le **temps de montée**. On rappelle ici les définitions de ces deux temps ainsi que les résultats obtenues au [chapitre 3](#) pour les systèmes modèles.

3.1.1. Temps de réponse à 5% et temps de montée

Le temps de réponse à 5% d'un système correspond au temps mis par la réponse pour atteindre 5% de sa valeur finale $s(\infty)$. Dans le cas où la réponse tend asymptotiquement en oscillant vers la valeur finale, le temps de réponse à 5% correspond au temps pour lequel le signal de la réponse reste dans une bande à 5% autour de la valeur finale.

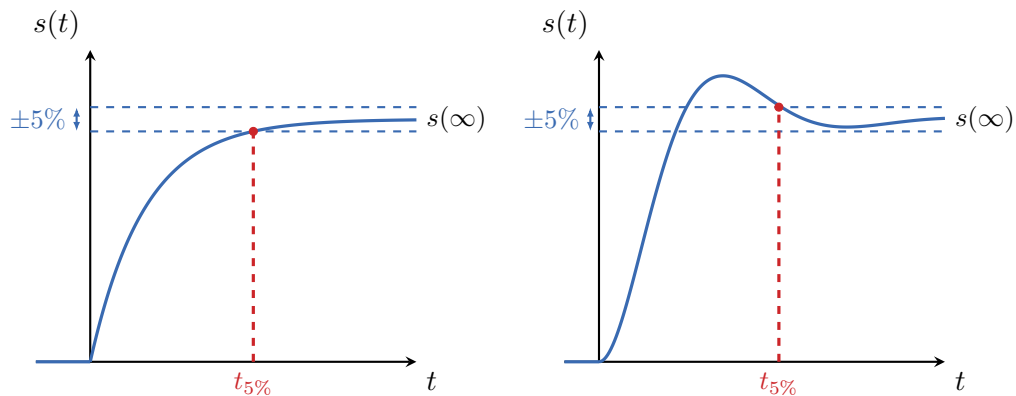


Figure 6.3. – Définition du temps de réponse à 5% : (à gauche) dans le cas d'une réponse temporelle sans pseudo-oscillations et (à droite) dans le cas d'une réponse temporelle avec pseudo-oscillations

Il apparaît clair que dans le cas d'une réponse présentant des oscillations, le temps de réponse à 5% va dépendre de l'amplitude et la période des pseudo-oscillations. Dans

le cas où l'on souhaite caractériser la rapidité indépendamment de ces oscillations, on utilisera le temps de montée.

Le temps de montée t_m est le temps mis par réponse temporelle d'un système pour passer de 10% à 90% de la valeur finale. Il existe une autre définition du temps de montée. Pour celle-ci le temps de montée (que nous noterons t_M) correspond à la durée au bout de laquelle la réponse passe pour la première fois par la valeur finale. Cependant, il faut remarquer que pour certaine réponse la valeur finale n'est jamais atteinte en un temps fini. Cette dernière définition n'a donc de sens qu'en régime pseudo-périodique.

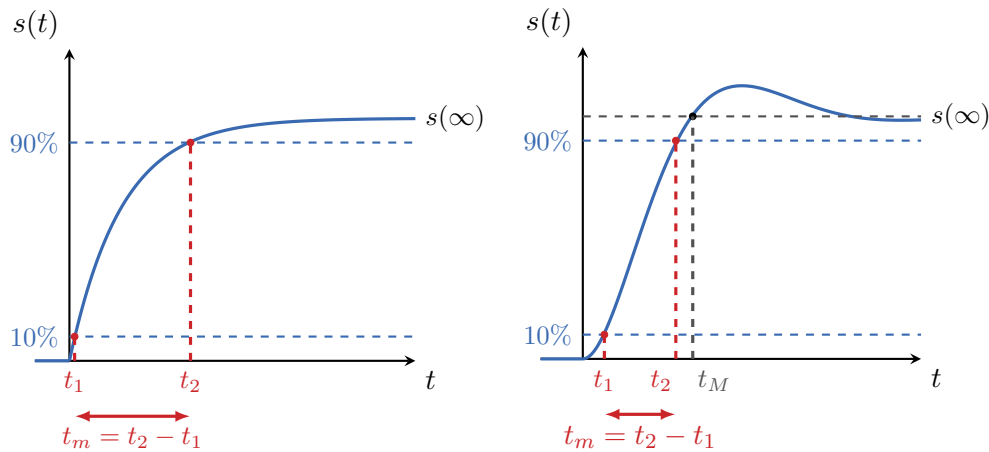


Figure 6.4. – Définition du temps de montée : (à gauche) dans le cas d'une réponse temporelle sans pseudo-oscillations et (à droite) dans le cas d'une réponse temporelle avec pseudo-oscillations

Quelque soit la grandeur utilisée pour caractériser les performances de rapidité d'un système linéaire, on dira que **plus le temps de réponse à 5% et le temps de montée t_m seront faibles plus le système sera rapide.**

3.1.2. Système du premier ordre

La réponse indicielle $s(t)$, à un échelon unitaire, d'un système du premier ordre est donnée par l'équation (3.4) du chapitre 3, à savoir :

$$s(t) = K \left(1 - e^{-t/\tau} \right)$$

Le temps de réponse à 5% $t_{5\%}$ est tel que $s(t_{5\%}) = 0.95K$,

$$t_{5\%} = -\tau \log 0.05 \sim 3\tau.$$

Le temps de montée $t_m = t_2 - t_1$ avec t_1 et t_2 , les temps tels que :

$$\begin{aligned}s(t_1) &= 0.1K \\ s(t_2) &= 0.9K \\ t_m &= -\tau \log \frac{0.1}{0.9} \sim 2.2\tau\end{aligned}$$

Le temps de réponse à 5% et le temps de montée t_m dépendent directement de la constante. Ce qui permet de conclure que **plus la constante de temps τ d'un système du premier ordre est faible plus le système est rapide.**

Effet du bouclage sur un système du premier ordre

Nous avons montré au chapitre 5 que les paramètres de la fonction de transfert en boucle fermée (FTBF) d'un système du premier ordre (K_{BF}, τ_{BF}) peuvent être obtenues à partir des paramètres de la FTBO. Notamment les relations suivantes :

$$\begin{aligned}K_{BF} &= \frac{K}{1 + K} \\ \tau_{BF} &= \frac{\tau}{1 + K}\end{aligned}$$

Il est alors possible de modifier la constante de temps en boucle fermée en modifiant la valeur du gain statique en boucle ouverte. Pour augmenter la rapidité d'un système, on augmentera le gain statique de la FTBO pour diminuer les temps de réponse et de montée.

3.1.3. Système du second ordre

Comme nous l'avons déjà souligné au chapitre 3, dans le cas d'un système du second ordre, il n'existe pas de forme analytique simple pour déterminer le temps de réponse à 5%. Celui-ci dépend en effet de la valeur du coefficient d'amortissement ξ et de la pulsation propre du système ω_0 .

Pour déterminer le temps de réponse à 5%, on utilise l'abaque de la figure 6.5. Sur cette figure nous avons représenté le temps de réponse à 5% et le temps de montée réduits par rapport à la pulsation propre ω_0 . **En effet pour un même coefficient d'amortissement, plus la pulsation propre augmente plus le temps de réponse diminue, donc plus le système est rapide.**

Nous pouvons relever sur ces abaques les coefficients d'amortissement donnant lieu au système le plus rapide selon le régime du second ordre accepté. **Dans le cas où les dépassements ne sont pas autorisés (c.a.d régime apériodique ($\xi > 1$)), le système est le plus rapide pour $t_{5\%} \cdot \omega_0 \sim 5$. Dans le cas où un dépassement relatif est autorisé, la temps de réponse minimal est obtenu pour $\xi \sim 0.7$ soit pour $t_{5\%} \cdot \omega_0 \sim 3$.**

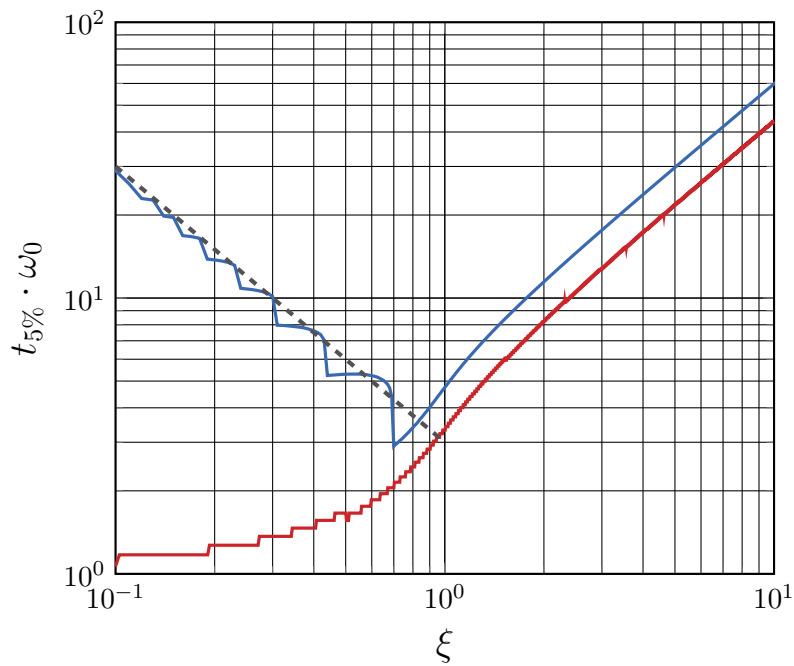


Figure 6.5. – Caractérisation de la rapidité d'un système du second ordre en fonction du taux d'amortissement ξ : par (bleu) le temps de réponse à 5%, (rouge) le temps de montée t_m . Ces deux temps sont donnés en unité réduite par rapport la pulsation propre ω_0 . Le minimum du temps de réponse à 5% est atteint pour $\xi \sim 0.7$ pour lequel $\omega_0 \cdot t_{5\%} \sim 3$. La droite en pointillé représente l'équation approchée $t_{5\%} \cdot \omega_0 \sim \frac{3}{\xi}$ pour les faibles valeurs de ξ .

Il est possible de déterminer une relation analytique pour le temps de montée à la valeur finale t_M . Rappelons quelques résultats obtenus pour la réponse indicielle d'un système du second ordre en régime pseudo-périodique (c.f [Chapitre 3 section 3.4.2](#)) :

- La fonction de transfert d'un système du second ordre est donnée par :

$$H(p) = \frac{K\omega_0^2}{p^2 + 2\xi\omega_0 p + \omega_0^2}$$

- La réponse indicielle pour échelon unitaire tend vers le gain statique K
- La réponse indicielle pour une échelon unitaire et en régime pseudo-périodique est donnée par :

$$s(t) = K \left(1 - \frac{1}{\sqrt{1-\xi^2}} e^{-\xi\omega_0 t} \sin(\omega_d t + \phi) \right)$$

Le temps de montée à la valeur finale t_M est tel que,

$$s(t_M) = K$$

ou encore

$$\frac{1}{\sqrt{1-\xi^2}} e^{-\xi\omega_0 t_M} \sin(\omega_d t_M + \phi) = 0$$

Cette expression est nulle que si $\sin(\omega_d t_M + \phi) = 0$. On obtient alors :

$$t_M = \frac{\pi - \phi}{\omega_d} \quad (6.4)$$

en fonction de ξ uniquement cette relation devient :

$$t_M = \frac{\pi - \arctan \frac{\sqrt{1-\xi^2}}{\xi}}{\omega_0 \sqrt{1-\xi^2}}$$

ou encore sous sa forme réduite en ω_0 :

$$t_M \omega_0 = \frac{\pi - \arctan \frac{\sqrt{1-\xi^2}}{\xi}}{\sqrt{1-\xi^2}} \quad (6.5)$$

Remarquons que pour le temps de réponse à 5% minimal, le temps de montée à la valeur finale réduit sont proche. **Autrement dit, pour $\xi \sim 0.7$ on a :**

$$t_M = t_{5\%}.$$

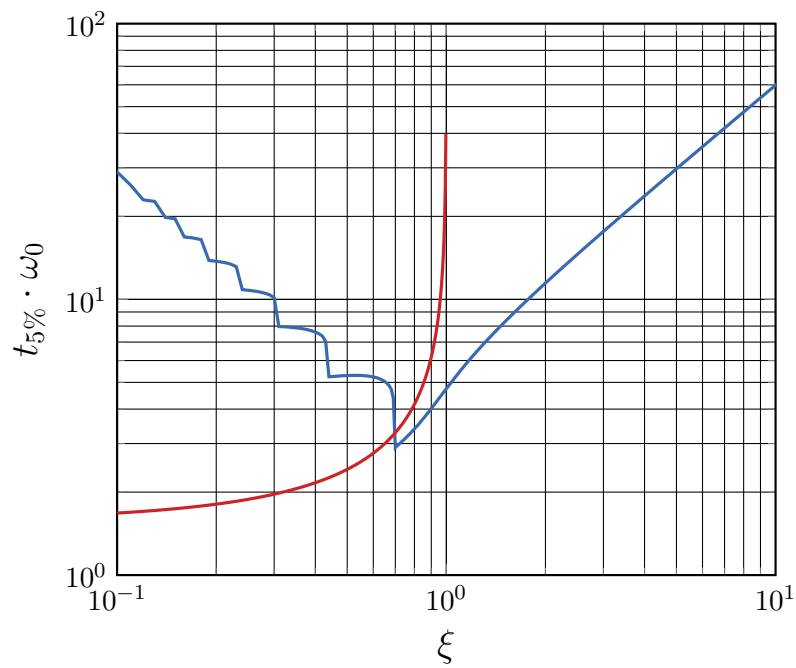


Figure 6.6. — Caractérisation de la rapidité d'un système du second ordre en fonction du taux d'amortissement ξ : par (bleu) le temps de réponse à 5%, (rouge) le temps de montée t_M à la valeur finale. Ce dernier est donné par la relation analytique établie dans le texte (c.f [équation \(6.5\)](#)).

Effet du bouclage sur un système du second ordre

À l'instar des systèmes du premier ordre, nous avons montré au chapitre 5 que les paramètres de la FTBF d'un système du second ordre $(K_{BF}, \xi_{BF}, \omega_{0,BF})$ peuvent être obtenues à partir des paramètres de la FTBO. Notamment les relations suivantes :

$$\begin{aligned} K_{BF} &= \frac{K}{1+K} \\ \omega_{0,BF} &= \omega_0 \sqrt{1+K} \\ \xi_{BF} &= \frac{\xi}{\sqrt{1+K}} \end{aligned}$$

En s'appuyant sur l'abaque discuté précédemment, il est possible de modifier les performances de rapidité de la boucle fermée en modifiant le gain de la boucle ouverte, notamment il est possible de rendre un système plus rapide en boucle fermée,

- en augmentant la valeur de la pulsation propre du système par l'intermédiaire du gain K de la FTBO.
- en diminuant coefficient d'amortissement ξ_{BF} pour $\xi_{BF} > 0.7$, c'est à dire en augmentant le gain en boucle ouverte K .

Dans le cas où $\xi_{BF} < 0.7$ une conclusion générale est impossible on se reportera sur les abaques du temps de réponse ou du temps de montée en fonction du coefficient d'amortissement pour établir la rapidité du système en boucle fermée.

3.2. Réponse harmonique

3.2.1. Définition de la bande passante à -x dB

3.3. Influence des pôles dominants

Soient p_1, \dots, p_n les pôles d'un système stable¹. Le pôle p_i est dit dominant si la valeur absolue de sa partie réelle est largement plus petite que celle de tout autre pôles du système²

$$|\operatorname{Re}[p_i]| \ll |\operatorname{Re}[p_j]| \quad \forall j \neq i \quad (6.6)$$

Pour observer l'influence d'un pôle dominant sur la réponse temporelle d'un système linéaire, nous nous allons l'illustrer par l'étude d'une fonction de transfert du second ordre en régime apériodique. Une telle fonction de transfert est équivalente à deux systèmes du premier ordre en série.

¹À partir des résultats obtenus dans ce chapitre il est déjà clair que la stabilité d'un système dépend également des pôles de sa fonction de transfert

²Dans la pratique un rapport de 5 est suffisant pour considérer une domination d'un pôle sur les autres

Prenons l'exemple de la fonction de transfert définie par

$$H(p) = \frac{5}{(p+1)(5p+1)} \quad (6.7)$$

et de décomposition en éléments simples telle que :

$$H(p) = \frac{A}{p+1} + \frac{B}{5p+1}$$

Par identification on peut écrire $H(p)$ en fonction de deux fonctions de transferts $H_1(p)$ et $H_2(p)$ tel que :

$$\begin{aligned} H(p) &= H_1(p) - H_2(p) \\ H_1(p) &= \frac{6.25}{5p+1} \\ H_2(p) &= \frac{1.25}{p+1} \end{aligned}$$

Par définition, le pôle dominant est donné par $H_1(p)$. Pour observer, l'effet de chacun des pôles, nous avons tracé les réponses indicielles de ces trois fonctions de transfert (c.f [figure 6.7](#)) Nous constatons que la réponse indicielle $s_1(t)$ de la fonction de transfert $H_1(p)$ domine le temps de réponse de la sortie globale $s(t)$.

En conclusion, l'étude des pôles dominants de la fonction de transfert d'un système est, en première approximation, suffisante pour caractériser la rapidité d'un système que se soit en boucle ouverte ou en boucle fermée.

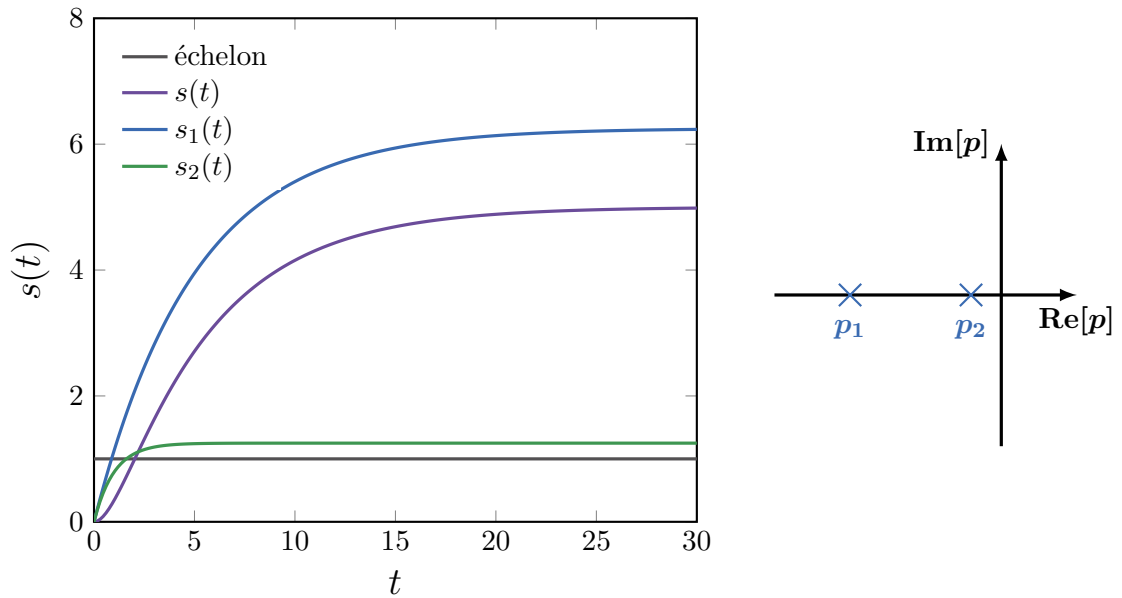


Figure 6.7. – (à gauche) Réponse indicielle $s(t)$ de la fonction de transfert donnée par [équation \(6.7\)](#), ainsi que les réponses indicielles $s_1(t)$ et $s_2(t)$ des fonctions de transferts de sa décomposition en éléments simples. On constate que la réponse du pôle dominant ($s_1(t)$) présente un temps de réponse proche de la réponse globale. (à droite) carte des pôles du système en question

Annexes

A. Alphabet Grec

Nom	Minuscule	Majuscule	Correspondance latine	Usages courants
alpha	α	A	a	angles
bêta	β	B	b	angles
gamma	γ	Γ	g	angles
delta	δ	Δ	d	variations
epsilon	ϵ, ε	E	e	petite quantité
zéta	ζ	Z	z	-
êta	η	H	é (long)	rendement
thêta	θ, ϑ	Θ	th	angles
iota	ι	I	i	-
kappa	κ, \varkappa	K	k	-
lambda	λ	Λ	l	longueur, densité linéique
mu	μ	M	m	masse réduite
nu	ν	N	n	fréquence
ksi	ξ	Ξ	ks	coefficient sans dimension
omicron	o	O	o	-
pi	π, ϖ	Π	p	Π : plan
rhô	ρ, ϱ	P	r	densité volumique
sigma	σ, ς	Σ	s	σ : densité surfacique, Σ : Système
tau	τ	T	t	temps, durée relative
upsilon	υ	Y	u	-
phi	ϕ, φ	Φ	f,ph	angles
khi	χ	X	kh	coefficients
psi	ψ	Ψ	ps	fonction d'onde
oméga	ω	Ω	ô	vitesse angulaire, angle solide

Tableau A.1. – Lettres de l'alphabet Grec et leurs usages courants en physique (non exhaustifs)

Références

- [1] Régulation automatique (analogique) (REG). <http://php.iai.heig-vd.ch/~mee/>.
- [2] <http://www.demosciences.fr/projets/scilab-xcos/-utilisation/premiers-pas>.
- [3] Xcos pour les vrais debutants. <https://scilab.developpez.com/tutoriels/debuter/apprendre-xcos-debutant/>.
- [4] Denis Arzelier. Représentation et analyse des systèmes lineaires (pc7bis), 2005.
- [5] B. Bayle and J. Gangloff. Systèmes et asservissements à temps continu, 2009.
- [6] S. L. Campbell, J.-P. Chancelier, and R. Nikoukhah. *Modeling and Simulation in Scilab/Scicos*. Springer, 2006.
- [7] H. Garnier. <http://w3.cran.univ-lorraine.fr/hugues.garnier/?q=content/teaching>.
- [8] Y. Granjon. *Automatique : systèmes linéaires, non linéaires, à temps continu, à temps discret, représentation d'état, événements discrets*. Dunod, Paris, 2015.
- [9] E. Laroche and H. Halalchi. Asservissement des systèmes lineaires à temps continu. <http://eavr.u-strasbg.fr/~laroche/student>.
- [10] O. Le Gallo. *Automatique des systèmes mécaniques : Cours, travaux pratiques et exercices corrigés*. Sciences de l'ingénieur. Dunod, 2009.
- [11] Joe Mabel. Régulateur à boules au Georgetown PowerPlant Museum à Seattle. CC BY-SA 3.0, <https://commons.wikimedia.org/w/index.php?curid=5694146>.
- [12] B. Marx. Outils Mathématiques pour l'ingénieur - Traitement du Signal. <http://w3.cran.univ-lorraine.fr/perso/benoit.marx/enseignement.html>.
- [13] B. Marx. Contrôle des systèmes linéaires. <http://w3.cran.univ-lorraine.fr/perso/-benoit.marx/enseignement.html>.
- [14] F. Orioux. *Automatique : Systèmes linéaires et asservissements*. Notes de Cours, Master 2 Outils et systèmes de l'astronomie et de l'Espace, 20017-1018.
- [15] E. Ostertag. *Systèmes et asservissements continus : Modélisation, analyse, synthèse des lois de commande*. Ellipses Marketing, 2004.
- [16] R. Papanicola. Schéma-blocs avec PGF/TIKZ. <https://sciences-indus-cpge.papanicola.info/IMG/pdf/schema-bloc.pdf>.
- [17] R. Papanicola. *Sciences industrielles PCSI : Mécanique et automatique*. Ellipses Marketing, 2003.

- [18] R. Papanicola. *Sciences industrielles PSI : Mécanique et automatique*. Ellipses Marketing, 2010.
- [19] Marsyas-Travail personnel. Clepsydre athénienne reconstituée, Musée de l'Agora antique d'Athènes. CC BY-SA 2.5, <https://commons.wikimedia.org/w/index.php?curid=476174>.
- [20] Consortium Scilab. Introduction to Scilab. www.scilab.org/content/download/247/1702/file/introscilab.pdf.
- [21] S. Steer and Y. Degré. *Scilab : De la théorie à la pratique - II. Modéliser et simuler avec Xcos*. Éditions D-BookeR, 2014.
- [22] C. Sueur, P. Vanheeghe, and P. Borne. *Automatique des systèmes continus*. Editions Technip.
- [23] E. Thomas. TP Scilab. http://cpgeptljg.free.fr/scenari/TP_INFO/TP_info_12_ordre/co/module_TP_1_2_ordre_5.html.

Acronymes

DES Décomposition en Éléments Simples

FTBF Fonction de Transfert en Boucle Fermée

FTBO Fonction de Transfert en Boucle Ouverte

FTCD Fonction de Transfert de la Chaîne Directe

FTCR Fonction de Transfert de la Chaîne de Retour

MEI Matière-Énergie-Information

MIMO Multiple Input Multiple Output

SISO Single Input Single Output

SLCI Système Linéaire Continu et Invariant

TL Transformée de Laplace

Glossaire

Asservissement	L'asservissement consiste à contrôler un système dynamique pour que sa réponse temporelle suive une consigne variable au cours du temps.
Régulation	La régulation est un particulier d'asservissement consistant à garder une consigne constante en présence de perturbation.

Liste des Symboles

t	Variable temporelle
p	Indéterminée de polynôme
$s(t)$	Fonction/Signal dans le domaine temporel
$S(p)$	Fonction/Signal dans le domaine de Laplace de la fonction $s(t)$
$u(t)$	Fonction échelon unité ou de Heaviside
$\delta(t)$	Distribution de Dirac
$r(t)$	Fonction rampe unité
$\mathcal{L}\{f(t)\}$	Transformation de Laplace de la fonction $f(t)$
$\mathcal{L}^{-1}\{F(p)\}$	Transformation de Laplace inverse de la fonction $F(p)$
$H(p)$	Fonction de transfert
$N(p)$	Polynôme du numérateur d'une fraction rationnelle
$D(p)$	Polynôme du dénominateur d'une fraction rationnelle
ω	Pulsation
$H(j\omega)$	Nombre complexe associé à la fonction de transfert $H(p)$
E_0	Paramètre dimensionnelle d'amplitude de l'entrée
K	Gain statique
ω_0	Pulsation propre
$\text{Im}[H(j\omega)]$	Partie imaginaire du nombre complexe $H(j\omega)$
$\text{Re}[H(j\omega)]$	Partie réelle du nombre complexe $H(j\omega)$
ξ	Coefficient d'amortissement

$G(\omega)$	Gain naturel de la réponse harmonique en fonction de la pulsation
$G_{dB}(\omega)$	Gain en dB de la réponse harmonique en fonction de la pulsation
$\phi(\omega)$	Déphasage de la réponse harmonique en fonction de la pulsation
D_k	k-ème dépassement
$t_{5\%}$	Temps de réponse à 5%

